

## EHD と GHD

東大 宇宙研 橋本 英典

## §1 序

それぞれケーロン座力あるび万有引力が支配する気体の力学として EHD (Electrohydrodynamics) と GHD (Gravitohydrodynamics) を考えると、相対論的效果、無視できぬ般圏において、兩者は互に類似ある<sup>1)</sup>は対照的示舉動を示す。特に一次元運動についてこれら示すのが此の稿の目的である。

## §2. 基礎方程式

非相対論的近似において EHD および GHD の基礎方程式は無次元化した形で<sup>2), 3)</sup>

$$\frac{\partial \rho}{\partial t} + \nabla \cdot (\rho \mathbf{v}) = 0 \quad \dots \dots \dots (1)$$

$$\rho \frac{D \mathbf{v}}{Dt} = -\nabla p + \rho \mathbf{f} \quad \dots \dots \dots (2) \quad \frac{D}{Dt} = \frac{\partial}{\partial t} + (\mathbf{v} \cdot \nabla)$$

$$\frac{D}{Dt}(\rho/\rho^*) = 0 \quad \dots \dots \dots (3)$$

$$\nabla \cdot \mathbf{F} = \pm \rho, \quad \nabla \times \mathbf{F} = 0 \quad (4), (5)$$

の形に書ける。たゞレ速度  $\mathbf{V}$ , 密度  $\rho$ , 壓力  $p$ , 長さ  $L$ , 時間  $t$ , 單位体積に働く力  $\mathbf{F}$  の単位として、 $D_0$ ,  $\rho_0$ ,  $p_0$ ,  $F_0$ ,  $L_0$ ,  $L_0/D_0$ ,  $\rho_0 D_0^2/L_0$  をとる。添字0は標準値を意味し, \*は断熱指数で(4)の複号は EHD で +, GHD で - , をとり、長さの単位としては、それが“れ”バイ長, “一”ス波長に相当する  $L_0 = \sqrt{\varepsilon m^2/8\pi e^2}$ ,  $D_0/\sqrt{4\pi p_0 G}$  をとするのが便である。勿論  $\rho$ ,  $p$  は正の値をとるべきものであるが (1)~(5) で  $p \rightarrow -p$ ,  $\rho \rightarrow -\rho$  とおけば EHD と GHD の互いに移行する二通り、“一方で  $p$ ,  $\rho$  共に負となり不合理解が得られるときには上記の置きかえによつて他方の解が得られる二通りある。”

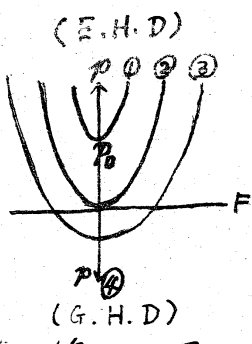
### § 3 一次元静的解

$\mathbf{V} = 0, \quad \frac{\partial}{\partial t} = 0, \quad \text{"現象がXで" Tに依存するとされば" (1), (3), (5) は自動的に満たん" (2), (4) は$

$$\rho' = \rho F, \quad F' = \pm \rho \quad \dots \dots \dots (1)$$

となる。これは積分して

$$\rho = \pm \frac{1}{2} F^2 + \text{const} \quad \dots \dots \dots (2)$$



第一圖

が得られる。第1圖が示すよ<sup>う</sup>に典型的な  
ばあいとして、①、②、③(E.H.D)<sup>1)</sup>,  
④(G.H.D)の各場合に分れる。

特に等温の場合には  $T_0$  として音速  $a_0$  をと  
れば  $P = \rho$  となるので統合して

$$\textcircled{1}: F = E_{\infty} \coth \left[ -\frac{1}{2} E_{\infty} (x + x_0) \right], P = \rho = \frac{1}{2} E_{\infty}^2 \operatorname{cosech}^2 \left[ \frac{1}{2} E_{\infty} (x + x_0) \right]$$

$$\textcircled{2}: F = -2/(x + x_0), P = \rho = 2/(x + x_0)^2$$

$$\textcircled{3}: F = \sqrt{2} P_0 \tan \left[ \sqrt{\frac{P_0}{2}} x \right], P = \rho = P_0 \sec^2 \left[ \sqrt{\frac{P_0}{2}} x \right]$$

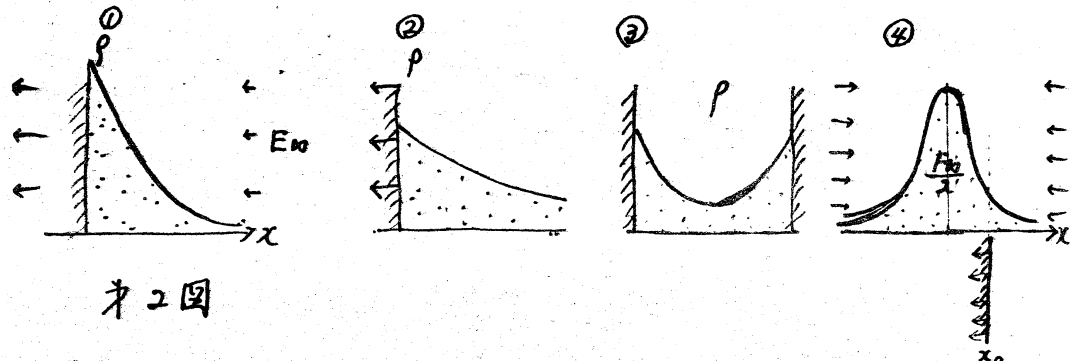
$$\textcircled{4}: F = -F_{\infty} \tanh \frac{F_{\infty}}{2} x, P = \rho = \frac{F_{\infty}}{2} \operatorname{sech}^2 \frac{F_{\infty}}{2} x$$

①、②は壁  $x = 0$  に電場  $E_{\infty} \cosh \left[ -\frac{1}{2} E_{\infty} x_0 \right]$ ,  $-2/x_0^2$  "confine"

された荷電気体であり、②は  $x \rightarrow \infty$  で  $F = 0$  となる臨界状態

で壁の電場をこれ以上小さくすることは出来ない。③は2つ

の壁の間にはまかれた荷電気体、④は  $x = 0$  で最大密度の壁



第2圖

気体、 $x = x_0$  で切れば壁  $x = x_0$  に31力  $F_{\infty} \tanh \frac{F_{\infty}}{2} x_0$  で31きつ  
けられている重力気体をあらわす。

### § 4 非定常流

壁を正の  $x$  方向に  $V(t)$  で動かすばあいを考えよう。座標変換を実行して壁に静止した座標系に移れば運動方程式(1.2)<sup>2)</sup> の右辺に  $-\rho \dot{V}(t)$  の項が加えられる。(ダarcy原理)。

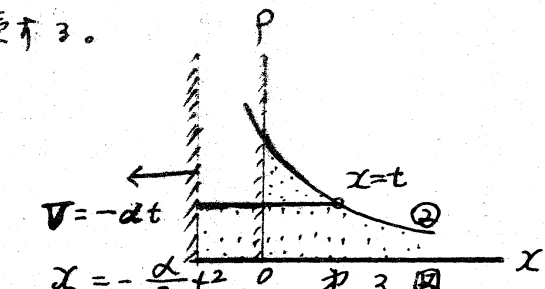
これは、静止系に外部から  $-V$  の場を加えたことに相当する。 $V(t)$  が一定  $V$  ならば  $-VS(t)$  といふ瞬間力、 $V(t)$  の導加速度  $dV/dt$  ならば  $-dV/dt$  といふ一様場に相当する。

#### § 4.1 臨界状態と等密度解<sup>2), 4)</sup>

臨界状態②で壁を  $\alpha = 2/x_0 = -E_0$  の加速度で左方に進み、実験室系で  $-\alpha t^{1/2} < x < t$  において、等密度状態

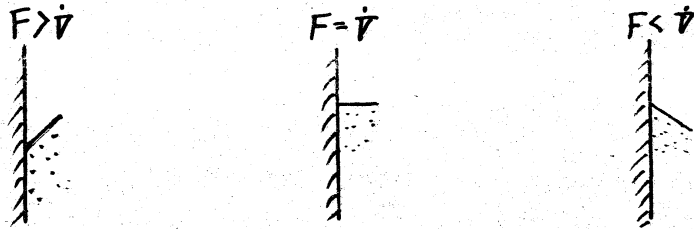
$$\rho = \frac{2}{(t+x_0)}, \quad u = \frac{-2(t-x)}{(t+x_0)}, \quad F = \frac{2(x-2t-x_0)}{(t+x_0)^2}$$

となる解が得られる。これは音速  $c$  で右方に進む Front ( $x=t$ ) で  $u=0, \rho=2/(x+x_0)^2$  となり②の乱されない状態に接続する。



一般に壁における密度については、運動系で見るとき運動方程式の壁における値 ( $u=0$ )

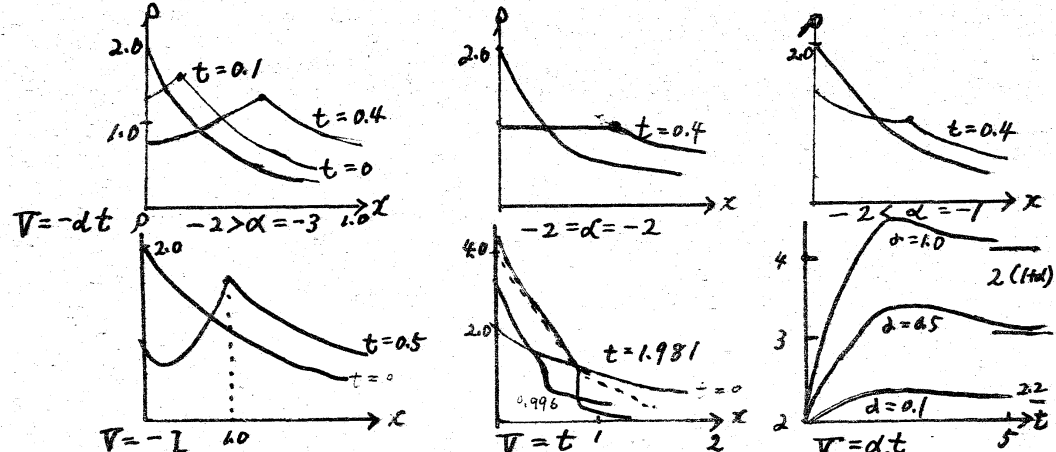
$$0 = \frac{-1}{\rho} \left( \frac{\partial \rho}{\partial x} \right)_w + F_w - \dot{V}(t)$$



已知。最密状態では  $F = V$  である。

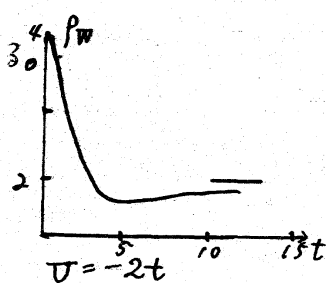
特に  $x_0 = 1$ , 壁の電場が  $-2$  のとき定差方程式 (Lax の方法)

による数値解は、壁を引くことに伴い、頂部が壁に相対的  $V = 1 - \sqrt{t}$   
の速度で進行する三角波乃至は階段波を生じる。



壁を押すばあいには場の中に衝撃波を生じる共に、壁の密度  
加速運動に対する Overshoot ①で壁の電場が  $-2 - \alpha$   
のときの終極値  $2(1 + \alpha)$  に達する。

このようだ Overshoot は逆に上の終極状態から壁を加速度  
 $\alpha$  で引くときにも生じる。



### 3.5. EHD - GHD Pulsations

現象を立ち入ってしゃべるためには壁の速度が小さいとした近似解を求めて見よう。

Lagrange 座標

$$\begin{cases} \psi = \int_0^x \rho(x, t) dx \\ \tau = t \end{cases}$$

を導入すれば、基礎式は等温のばあいに  $\rightarrow$  117. Wall system?

$$\begin{cases} \frac{\partial \rho}{\partial \tau} = -\rho^2 \frac{\partial u}{\partial \psi} \\ \frac{\partial u}{\partial \tau} = -\frac{\partial \rho}{\partial \psi} + F - i_{\text{W}} \\ F = \pm \psi + F_{\text{W}} \end{cases}$$

と書ける。定常解は  $i_{\text{W}} = 0, u = 0, \frac{\partial \rho}{\partial \tau} = 0$  に相当する  $\tau$   
 $x \rightarrow \infty$  すなわち  $\psi = \psi_{\infty} = \int_0^{\infty} \rho(x, t) dx$  の  $\rho \rightarrow 0$  となるもの

$$\begin{aligned} \rho_0 &= \pm \frac{1}{2} (\psi \pm F_{\text{W}})^2 + \frac{1}{2} (\psi_0 \pm F_{\text{W}})^2 \\ &= \mp \frac{1}{2} F_{\text{W}}^2 \operatorname{sech}^2 \left[ \frac{F_{\text{W}}}{2} x - \tanh^{-1} \frac{F_{\text{W}}}{F_{\text{W}}} \right] \\ \psi &= \mp F_{\text{W}} \mp F_{\text{W}} \tanh \left[ \frac{F_{\text{W}}}{2} x - \tanh^{-1} \frac{F_{\text{W}}}{F_{\text{W}}} \right] \end{aligned}$$

$$\text{ただし } F_{\text{W}} = \pm \psi_0 + F_{\text{W}}$$

壁を  $V_{\text{W}}$  の微小速度で動かす:  $V_{\text{W}} = \epsilon g \neq 0$  のときは

$$\rho = \rho_0 + \epsilon \rho, \quad u = \epsilon v$$

とかき  $\epsilon$  の一次の項をとれば

$$\begin{cases} \frac{\partial}{\partial \tau} \rho_1 = -\rho_0^2 \frac{\partial v}{\partial \psi} \\ \frac{\partial}{\partial \tau} v = -\frac{\partial \rho_1}{\partial \psi} - g \end{cases} \quad \text{あるいは } \left[ \frac{\partial^2}{\partial \tau^2} - \rho_0^2 (\psi) \frac{\partial^2}{\partial \psi^2} \right] \rho_1 = 0$$

を得る：

二種初期条件

$$t=0 : \rho_1 = 0, u=0$$

境界条件：  $\psi = 0 : \dot{u} = 0 ; \psi = \psi_\infty : v = -\nabla w, \rho_1 = 0$

① 下に解く。 Impulsive Motion  $\bar{V}_W = \delta(t)$  は 3 解は

$$\rho_1 = \sqrt{\frac{1}{2}\psi_\infty |F_\infty + F_W|} \rho_0 Y(t-\theta) \\ \times \left[ e^{\frac{1}{2}F_W(t-\theta)} - \frac{F_\infty}{2} \int_0^{\sqrt{t^2-\theta^2}} e^{\frac{1}{2}F_W(\sqrt{t^2-\xi^2}-\theta)} J_1\left(\frac{F_\infty}{2}\xi\right) d\xi \right]$$

ここで  $Y(t)$  は階段関数  $\begin{cases} Y(t) = 1 & t > 0 \\ = 0 & t < 0 \end{cases}$

$$\theta = \frac{1}{F_\infty} \log \frac{(F_\infty + F_W)(\psi_\infty - \psi)}{\psi_\infty (\psi + F_\infty + F_W)} > 0$$

i) 指 GHD Case  $F_W = 0$  の  $\psi = \psi_\infty$ ,  $F_\infty = -\psi_\infty$ ,

$$\theta = \frac{1}{\psi_\infty} \log \frac{\psi + \psi_\infty}{\psi_\infty - \psi}$$

$$\rho_1 = \frac{\psi_\infty}{2} (\psi_\infty^2 - \psi^2)^{\frac{1}{2}} J_0\left(\frac{1}{2}\psi_\infty \sqrt{t^2 - \theta^2}\right) Y(t-\theta)$$

ii) EHD case  $F_W = 0$  の  $F_\infty = -\psi_\infty$ ,  $\theta = \frac{2\psi}{\psi_\infty(\psi - \psi)}$

$$\rho_1 = \frac{\psi_\infty}{2} (\psi_\infty - \psi) \exp\left[-\frac{\psi_\infty}{2}(t-\theta)\right] Y(t-\theta)$$

iii) 壁の密度： $\psi = 0$ , 従  $t > \theta = 0$  で  $\theta = 0$  と

$$\rho_1 = \frac{\psi_\infty}{2} |F_\infty + F_W| \left[ e^{\frac{1}{2}F_W t} - \frac{1}{2} F_\infty \int_0^t e^{\frac{1}{2}F_W \sqrt{t^2 - \xi^2}} J_1\left(\frac{F_\infty}{2}\xi\right) d\xi \right] \\ = \frac{\sqrt{\pi}}{2} \psi_\infty |F_\infty + F_W| \sum_{n=0}^{\infty} \frac{(-1)^n}{\Gamma\left(\frac{n+1}{2}\right)} \left(\frac{F_W^2 t}{4F_\infty}\right)^{\frac{n}{2}} J_{\frac{n}{2}}\left(\frac{F_\infty t}{2}\right) \\ \sim \frac{1}{2} \psi_\infty |F_\infty + F_W| \sum_{n=1}^{\infty} [(2n-1) \cdots 3 \cdot 1] \left(\frac{2F_\infty}{F_W^2 t}\right)^n J_n\left(\frac{F_\infty}{2} t\right).$$

ii) より ii) の 密度の Oscillation を見らる。

1) F. H. Clauser : Int. Ser. Aero. Sci and Space Flight 4 (Pergamon Press,

1960 ) 305.

2) H. Hasimoto : Proc. 12th Japan Nat. Congr. Appl. Mech. (1962) 151.

3) H. Hasimoto & S. Kuwabara: J. Phys. Soc. Japan 20 (1965) 859

4) H. Hasimoto : J. Phys. Soc. Japan 25 (1968) 1524.

5) 橋本英典, 桑原真二, 神部勉: 日本物理学会、航空学会  
第13会応用数学力学講演会予稿集2 (1968年

9月) p.28